



# Le Cemagref

## Le modèle LEYP

---

### Prédiction des défaillances des canalisations d'eau sous pression

*eau - territoires - développement durable*



**Cemagref - REBX**

**50 avenue de Verdun**

**33612 Cestas Cedex**





- **A court terme :**
  
  
  
  
  
  
  
  
  
  
- **A moyen ou long terme :**



## ► A court terme :

Prioriser les canalisations  
à réhabiliter ou remplacer

## ► A moyen ou long terme :





## ► A court terme :

Prioriser les canalisations  
à réhabiliter ou remplacer

## ► A moyen ou long terme :

Choisir un programme  
pluriannuel de travaux

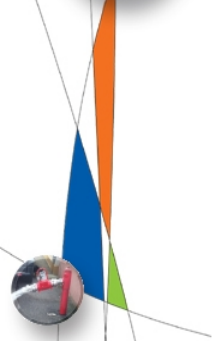
⇒ Comparer des scénarios



# asse ► Plan de l'exposé du modèle LEYP



- ▶ **Le phénomène à modéliser**
- ▶ **Différentes approches depuis 1994**
- ▶ **Cadre théorique**
- ▶ **Fonction de vraisemblance et estimation des paramètres**
- ▶ **Validation**





# asse ▶ Le phénomène à modéliser



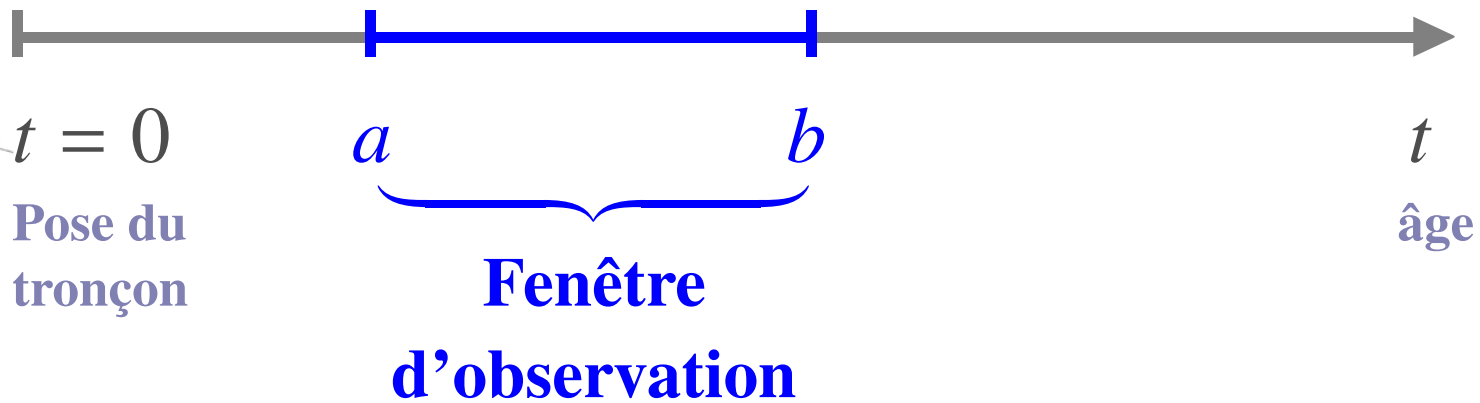
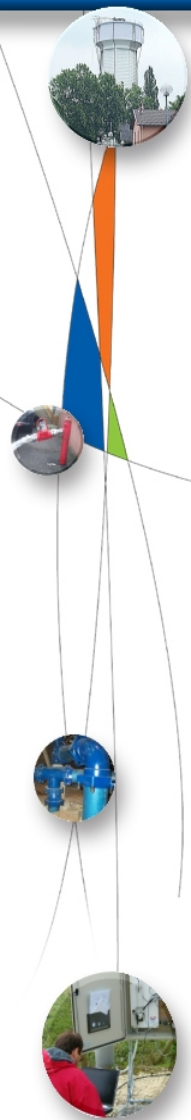
$t = 0$

Pose du  
tronçon

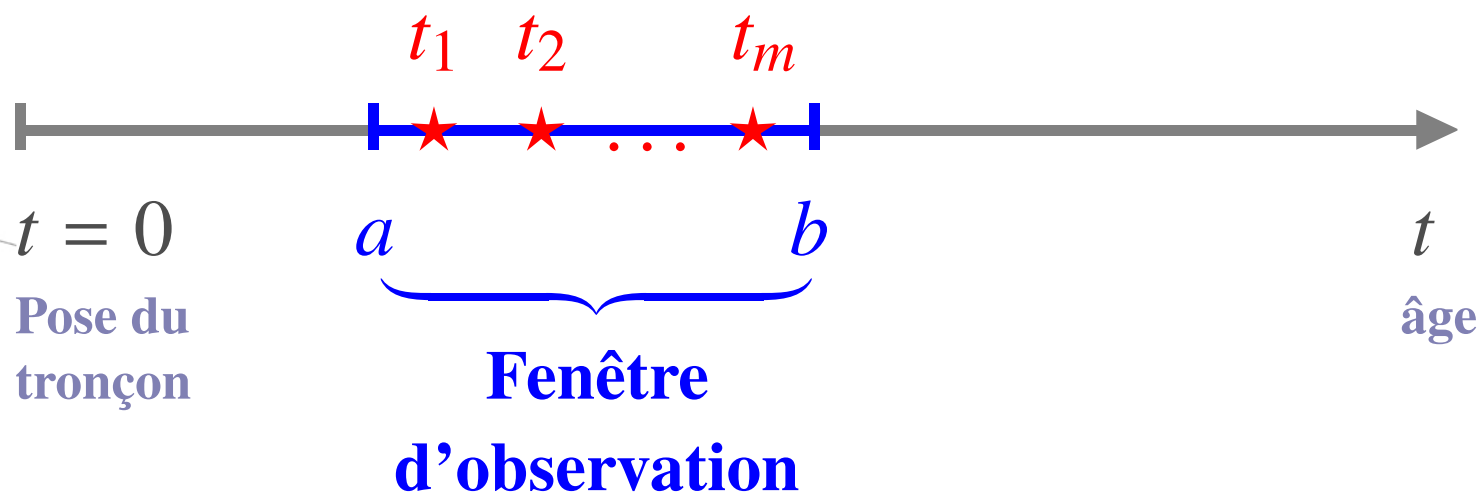
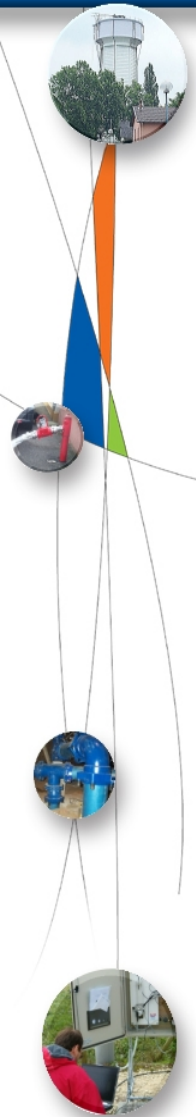
$t$   
âge



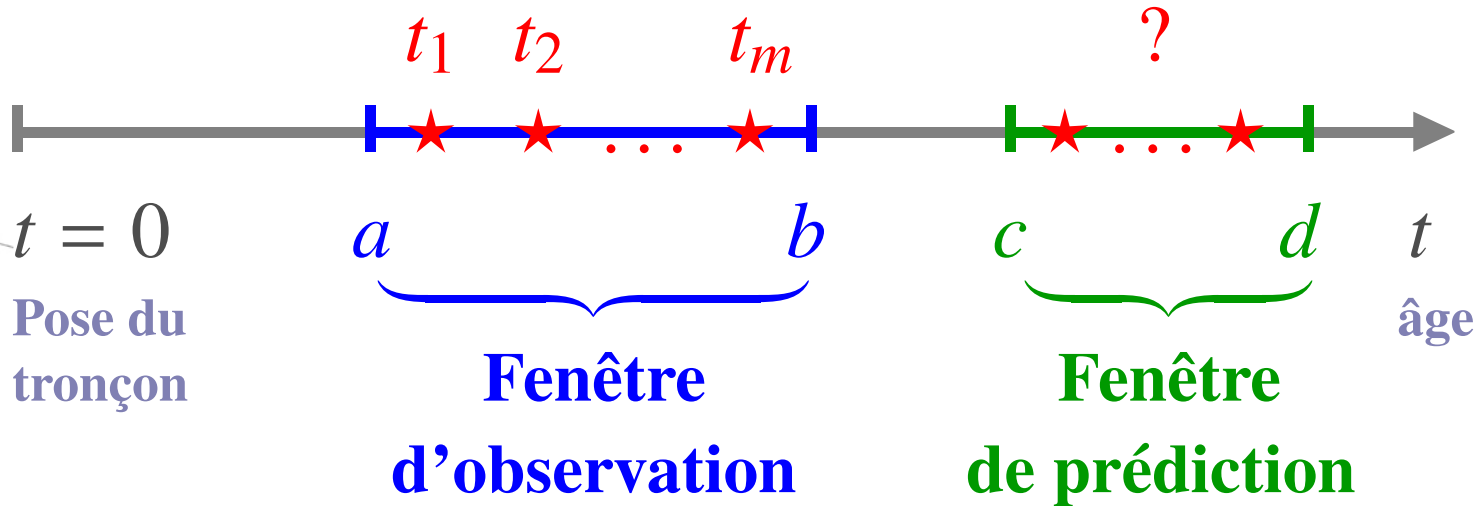
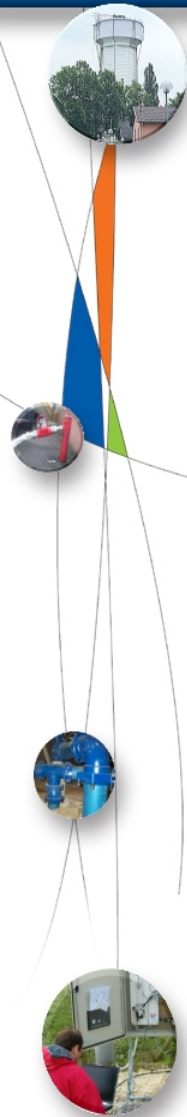
# Le phénomène à modéliser



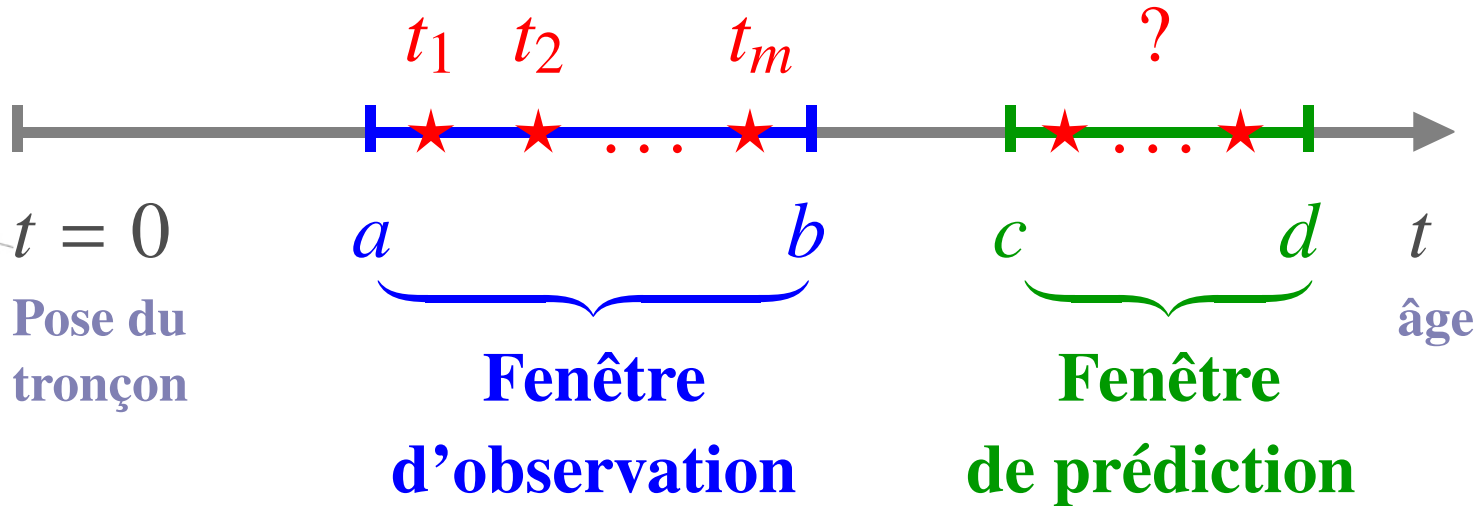
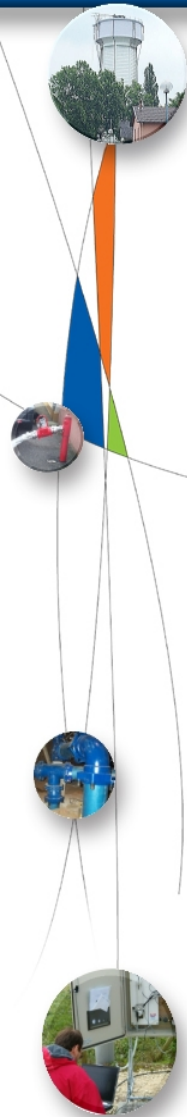
# ▶ Le phénomène à modéliser



# Le phénomène à modéliser

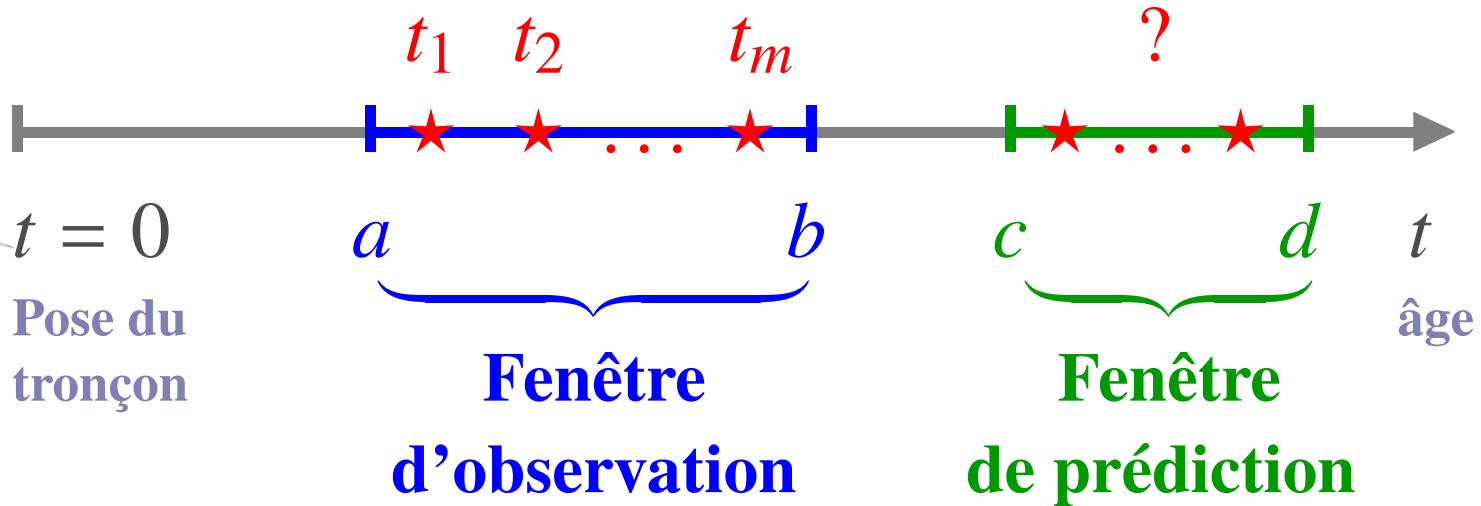
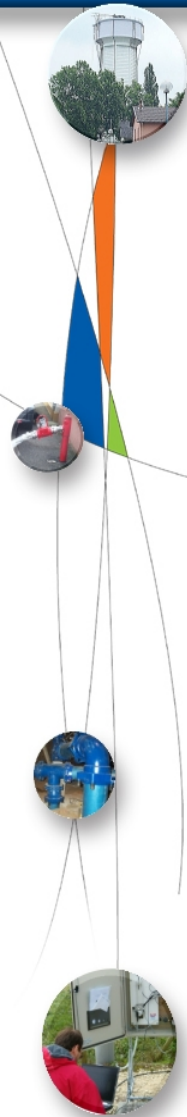


# Le phénomène à modéliser



► Tronquée à gauche

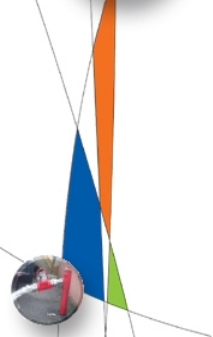
# Le phénomène à modéliser



- ▶ Tronquée à gauche
- ▶ Censurée à droite



► **Thèse P. Eisenbeis 1994 (Bordeaux)**





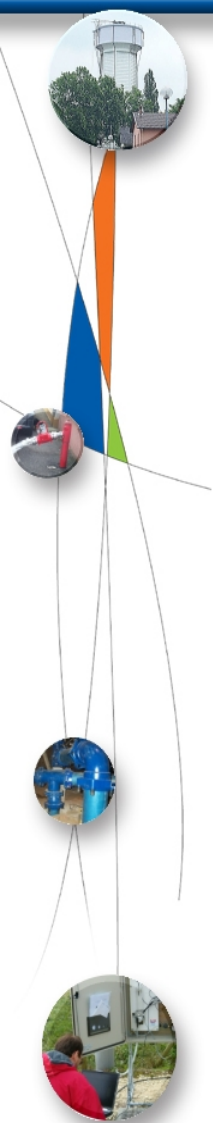
- ▶ **Thèse P. Eisenbeis 1994 (Bordeaux)**
- ▶ **Modèle développé ORH depuis 1995**



- ▶ **Thèse P. Eisenbeis 1994 (Bordeaux)**
- ▶ **Modèle développé ORH depuis 1995**
- ▶ **Thèse G. Pelletier 1999 (Québec)**



- ▶ **Thèse P. Eisenbeis 1994 (Bordeaux)**
- ▶ **Modèle développé ORH depuis 1995**
- ▶ **Thèse G. Pelletier 1999 (Québec)**
- ▶ **Thèse J. Malandain 1999 (Lyon)**

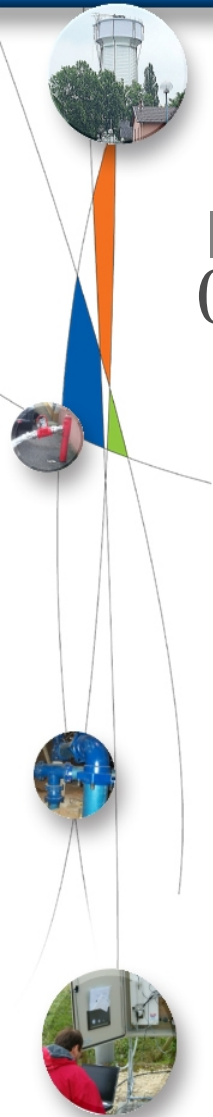


- ▶ **Thèse P. Eisenbeis 1994 (Bordeaux)**
- ▶ **Modèle développé ORH depuis 1995**
- ▶ **Thèse G. Pelletier 1999 (Québec)**
- ▶ **Thèse J. Malandain 1999 (Lyon)**
- ▶ **Thèse J. Røstum 2000 (Trondheim)**

- ▶ **Thèse P. Eisenbeis 1994 (Bordeaux)**
- ▶ **Modèle développé ORH depuis 1995**
- ▶ **Thèse G. Pelletier 1999 (Québec)**
- ▶ **Thèse J. Malandain 1999 (Lyon)**
- ▶ **Thèse J. Røstum 2000 (Trondheim)**
- ▶ **Projet européen FP5 CareW 2001-2003**



# asse ▶ Le modèle Eisenbeis 1994

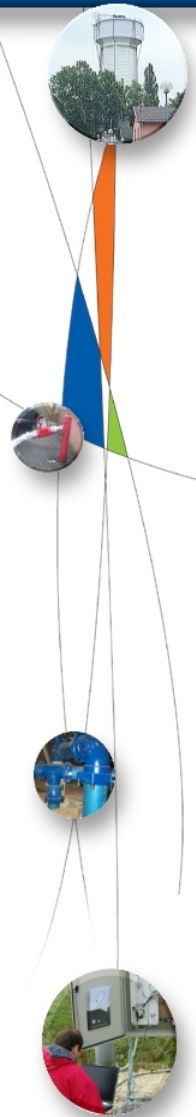
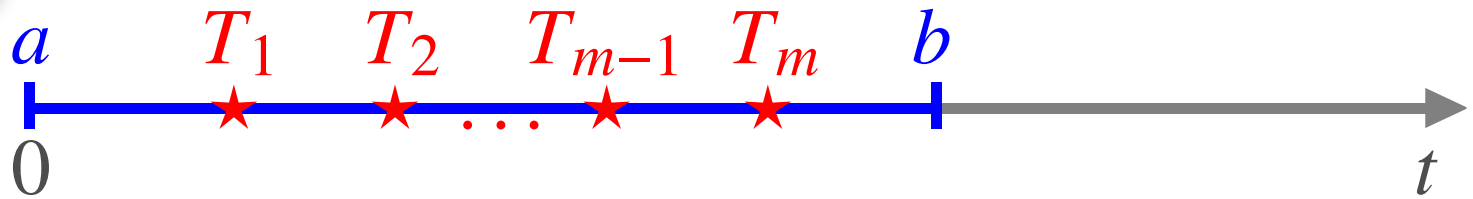


# asse ▶ Le modèle Eisenbeis 1994

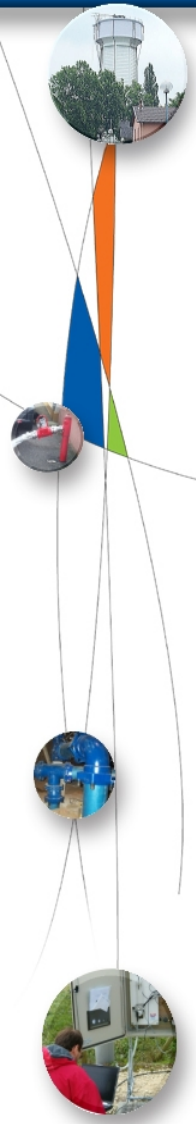
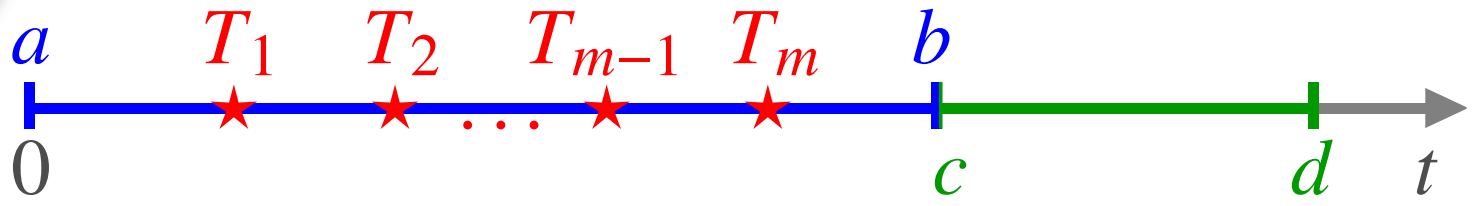




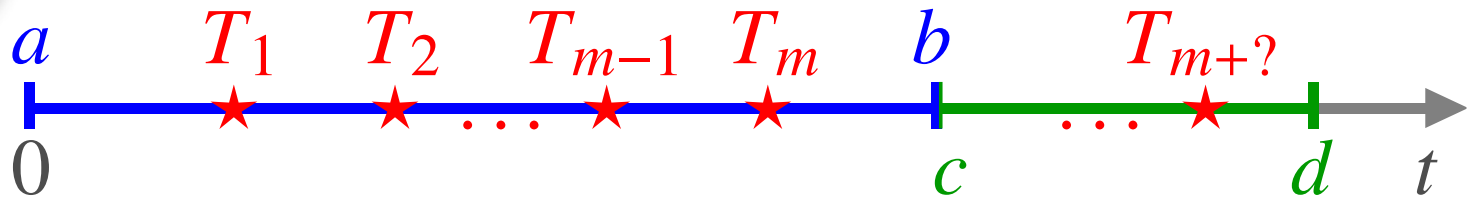
# ► Le modèle Eisenbeis 1994



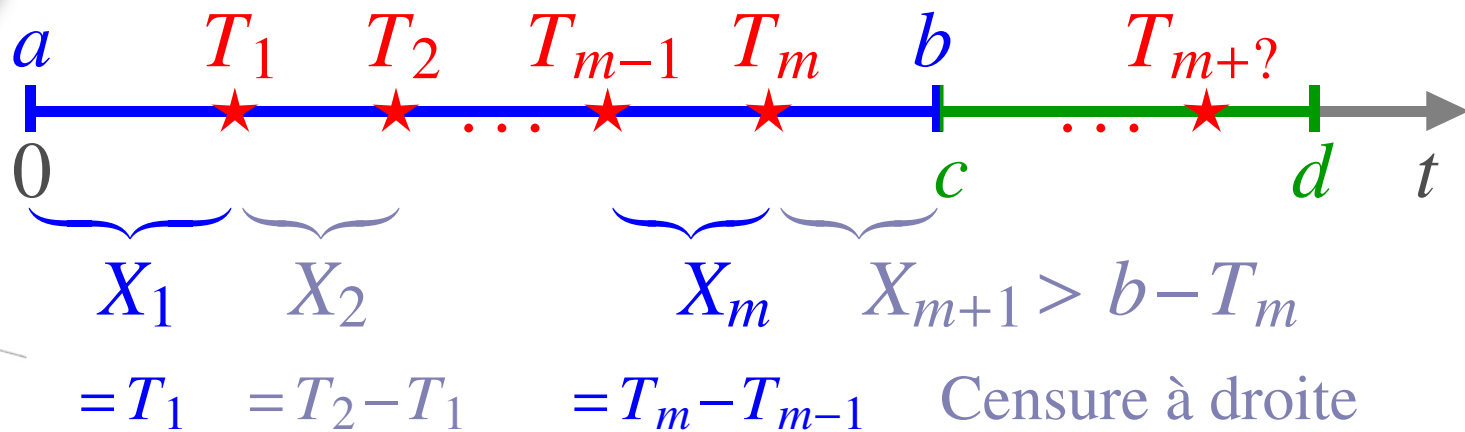
# ► Le modèle Eisenbeis 1994



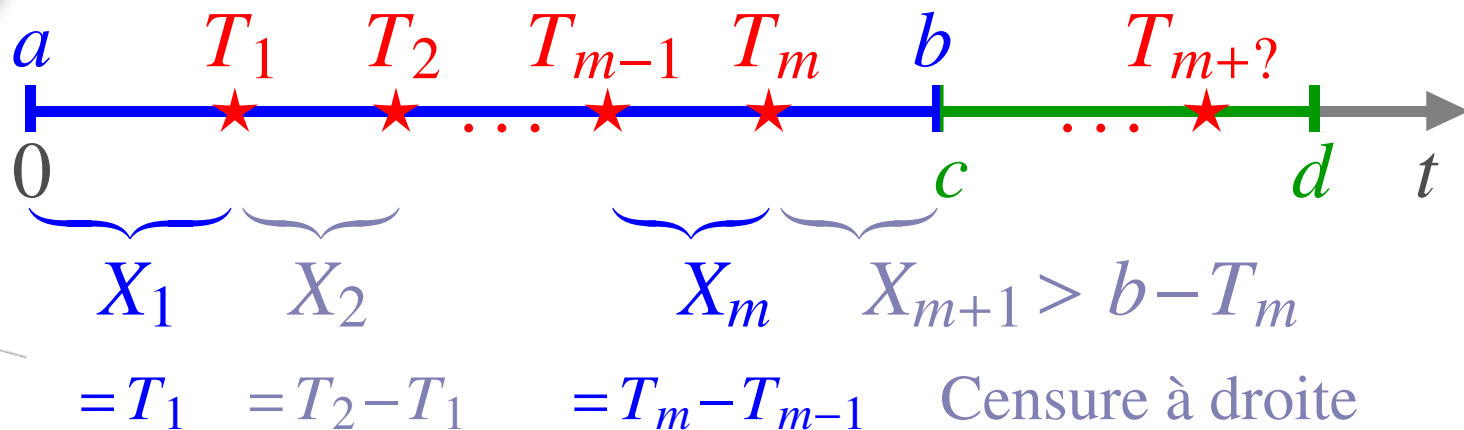
# Le modèle Eisenbeis 1994



# Le modèle Eisenbeis 1994



# Le modèle Eisenbeis 1994



► **Cadre théorique de l'analyse de survie :**

$$X_j \sim We(\delta_j, \mathbf{Z}^T \boldsymbol{\beta}_j) \text{ (PHM)}$$

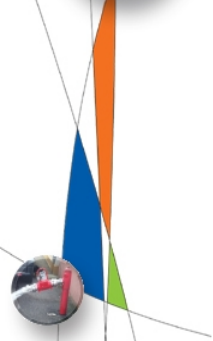
$$P\{X_j > x \mid \mathbf{Z}\} = \exp(-x^{\delta_j} e^{\mathbf{Z}^T \boldsymbol{\beta}_j})$$

► **Rôle central de l'ordre de la casse (stratif.)**

► **Pas de vieillissement explicite**



## Adaptations du modèle Eisenbeis





## Adaptations du modèle Eisenbeis

- ▶ Fenêtre d'observation  $[a, b]$   
avec  $a > 0$  (troncature gauche)



## Adaptations du modèle Eisenbeis

- ▶ Fenêtre d'observation  $[a, b]$   
avec  $a > 0$  (troncature gauche)
- ▶ Introduction de  $\ln j$  dans  $Z$   
 $\implies$  deux strates ( $j = 1$  et  $j \geq 2$ ),  
voire une seule







## Adaptations du modèle Eisenbeis

- ▶ Fenêtre d'observation  $[a, b]$   
avec  $a > 0$  (troncature gauche)
- ▶ Introduction de  $\ln j$  dans  $Z$   
 $\implies$  deux strates ( $j = 1$  et  $j \geq 2$ ),  
voire une seule
- ▶ Prise en compte du vieillissement par  
l'introduction de  $\ln t_{j-1}$  dans  $Z$





## Adaptations du modèle Eisenbeis

- ▶ Fenêtre d'observation  $[a, b]$   
avec  $a > 0$  (troncature gauche)
- ▶ Introduction de  $\ln j$  dans  $Z$   
 $\implies$  deux strates ( $j = 1$  et  $j \geq 2$ ),  
voire une seule
- ▶ Prise en compte du vieillissement par  
l'introduction de  $\ln t_{j-1}$  dans  $Z$
- ▶ Calcul des prédictions dans  $[c, d]$   
par Monte Carlo





## ▶ Avantages

**Modulation du risque au tronçon**

**→ covariables dans Z**

**Bonne détection du risque**





## ▶ Avantages

**Modulation du risque au tronçon**

**→ covariables dans  $Z$**

**Bonne détection du risque**

## ▶ Limitations

**Non rigoureux sur le plan théorique**

**Biais de prédiction important**

**Vieillesse non explicite**

**Lourdeur des calculs de prédiction**





## Cadre du modèle Eisenbeis 1994 originel





## Cadre du modèle Eisenbeis 1994 originel

- ▶ **Solution rigoureuse du problème de la troncature à gauche ( $a > 0$ )**



## Cadre du modèle Eisenbeis 1994 originel

- ▶ **Solution rigoureuse du problème de la troncature à gauche ( $a > 0$ )**
- ▶ **Introduction implicite des vraisemblances conditionnelle sur le nb de casses sur  $[0, a[$  et marginale**



## Cadre du modèle Eisenbeis 1994 originel

- ▶ **Solution rigoureuse du problème de la troncature à gauche ( $a > 0$ )**
- ▶ **Introduction implicite des vraisemblances conditionnelle sur le nb de casses sur  $[0, a[$  et marginale**
- ▶ **Problème du vieillissement non abordé**

Modèle à l'échelle du groupe homogène  $k$   
de tronçons (matériau  $\times$  diamètre  $\times$  pose)





Modèle à l'échelle du groupe homogène  $k$   
de tronçons (matériau  $\times$  diamètre  $\times$  pose)

- ▶ Pas de régression généralisée  
ni de risques proportionnels



Modèle à l'échelle du groupe homogène  $k$   
de tronçons (matériau  $\times$  diamètre  $\times$  pose)

- ▶ Pas de régression généralisée  
ni de risques proportionnels
- ▶ Estimation brute du taux annuel de casse  
 $\lambda_k(t)$  dans la fenêtre d'observation  
avec pas de temps discret ( $\Delta t = 1$  an)

Modèle à l'échelle du groupe homogène  $k$   
de tronçons (matériau  $\times$  diamètre  $\times$  pose)

- ▶ Pas de régression généralisée  
ni de risques proportionnels
- ▶ Estimation brute du taux annuel de casse  
 $\lambda_k(t)$  dans la fenêtre d'observation  
avec pas de temps discret ( $\Delta t = 1$  an)
- ▶ Regression de  $\lambda_k(t)$  en  $t^{\delta-1}$ ,  $\delta \geq 1$

## « Non Homogeneous Poisson Process » Notion centrale de processus de comptage





## « Non Homogeneous Poisson Process »

### Notion centrale de processus de comptage





## « Non Homogeneous Poisson Process » Notion centrale de processus de comptage

$N(t)$

0

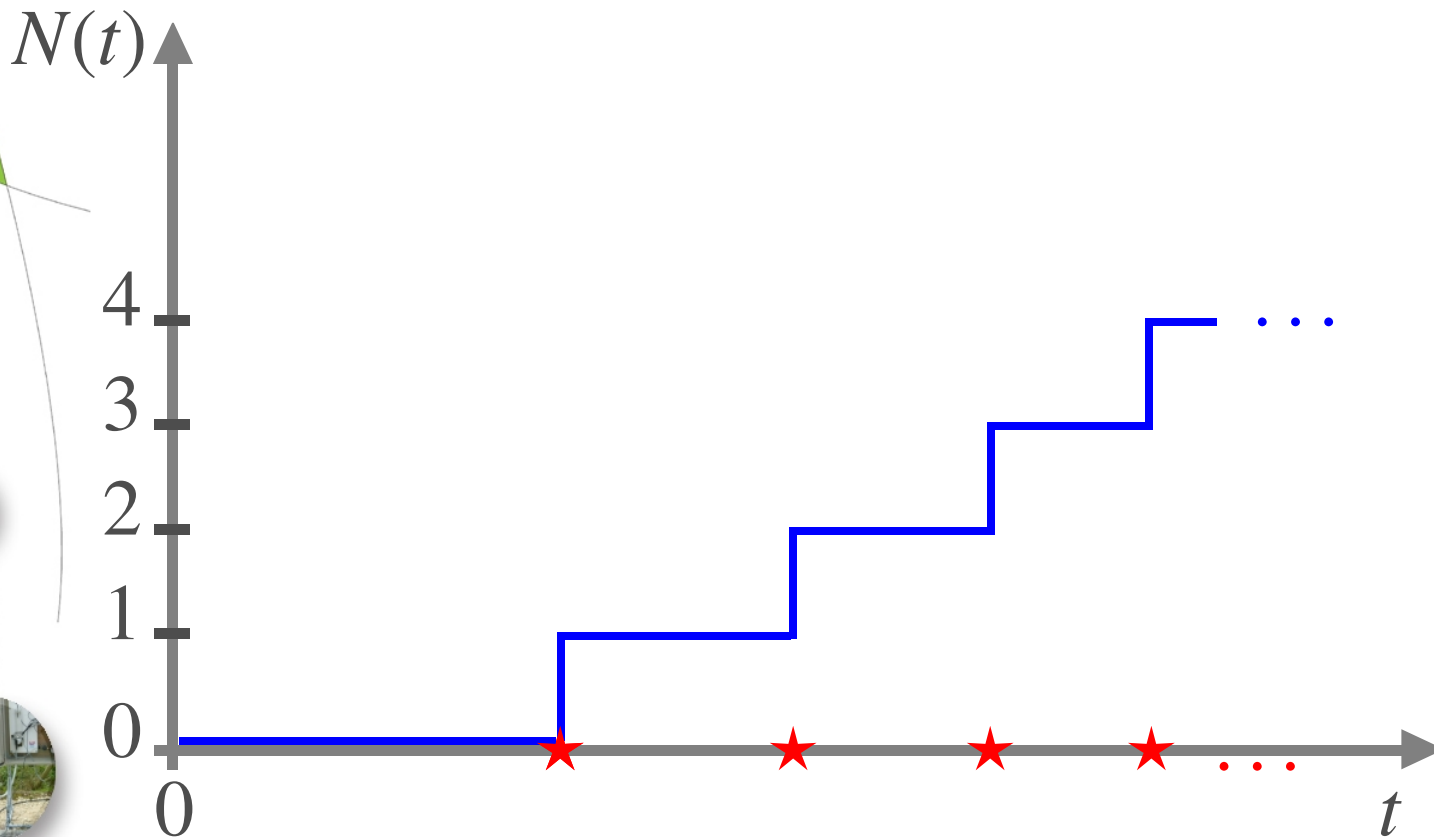
$t$







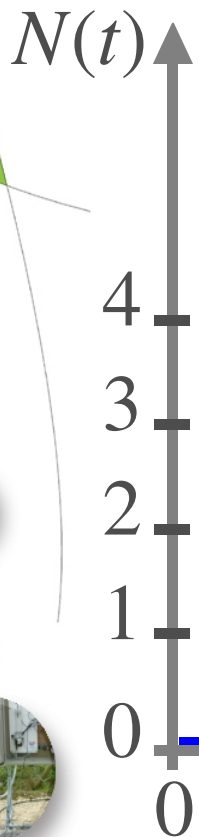
## « Non Homogeneous Poisson Process » Notion centrale de processus de comptage





« Non Homogeneous Poisson Process »

Notion centrale de processus de comptage



Fonction d'intensité du processus :

$$EdN(t) = \delta t^{\delta-1} e^{Z^T \beta} dt \text{ (PHM)}$$

$$\Rightarrow N(t) \sim \mathcal{P}o \left( t^\delta e^{Z^T \beta} \right)$$



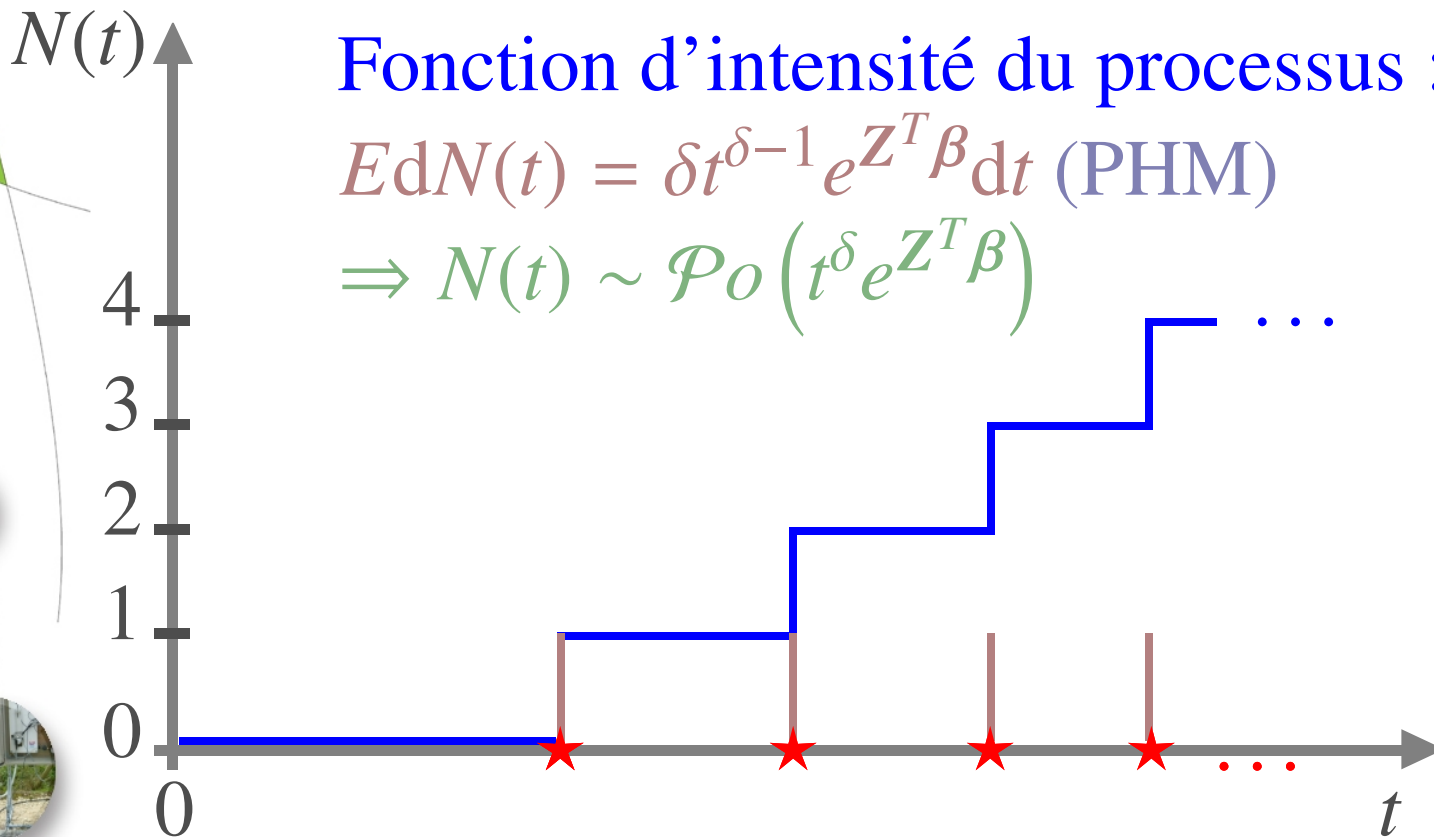
« Non Homogeneous Poisson Process »

Notion centrale de processus de comptage

Fonction d'intensité du processus :

$$E dN(t) = \delta t^{\delta-1} e^{Z^T \beta} dt \text{ (PHM)}$$

$$\Rightarrow N(t) \sim \mathcal{P}_0 \left( t^\delta e^{Z^T \beta} \right)$$







## ▶ Avantages

**Prise en compte naturelle de  $a > 0$**

**Pas de biais de prédiction**

**Prise en compte du vieillissement**

**Simplicité de calcul des prédictions**





## ▶ Avantages

Prise en compte naturelle de  $a > 0$

Pas de biais de prédiction

Prise en compte du vieillissement

Simplicité de calcul des prédictions

## ▶ Limitations

Pas de prise en compte de  $N(t-)$

Moindre détection du risque



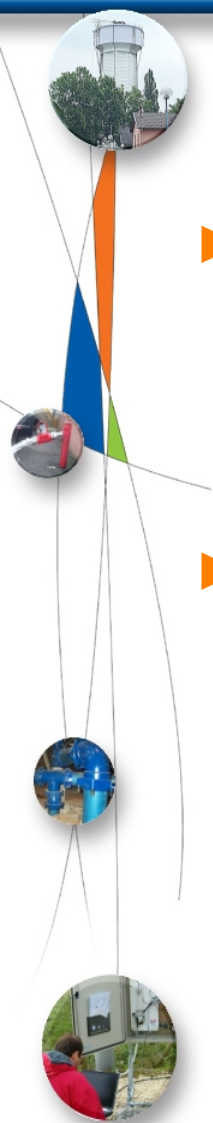


- ▶ **Mise à l'épreuve des données réelles  
des modèles Eisenbeis, Malandain et Røstum**



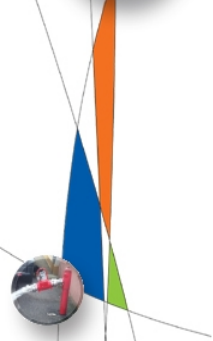


- ▶ **Mise à l'épreuve des données réelles des modèles Eisenbeis, Malandain et Røstum**
- ▶ **Intérêt pratique de l'approche PHM**



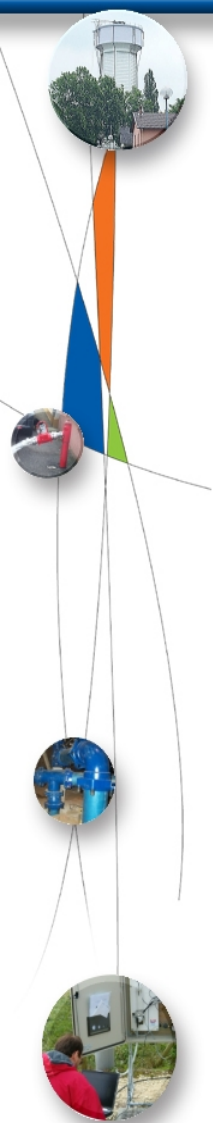
- ▶ **Mise à l'épreuve des données réelles des modèles Eisenbeis, Malandain et Røstum**
- ▶ **Intérêt pratique de l'approche PHM**
- ▶ **Nécessité d'une synthèse des approches Eisenbeis et Røstum**  
→ **« NHPP doté de mémoire »**

# Fonction d'intensité du LEYP



## Fonction d'intensité du LEYP

$$E(dN(t) \mid N(t-) = j) =$$



## Fonction d'intensité du LEYP

$$E(dN(t) | N(t-) = j) =$$

$$\underbrace{(1 + \alpha j)}$$

**Facteur  
de Yule**

## Fonction d'intensité du LEYP

$$E(dN(t) \mid N(t-) = j) =$$

$$\underbrace{(1 + \alpha j)}_{\text{Facteur de Yule}} \underbrace{\delta t^{\delta-1}}_{\text{Facteur âge}}$$

**Facteur  
de Yule**

**Facteur  
âge**

## Fonction d'intensité du LEYP

$$E(dN(t) \mid N(t-) = j) = \underbrace{(1 + \alpha j)}_{\text{Facteur de Yule}} \underbrace{\delta t^{\delta-1}}_{\text{Facteur âge}} \underbrace{e^{Z^T \beta}}_{\text{Facteur de Cox}} dt$$

**Facteur  
de Yule**

**Facteur  
âge**

**Facteur  
de Cox**

## Fonction d'intensité du LEYP

$$E(dN(t) | N(t-) = j) = \underbrace{(1 + \alpha j)}_{\text{Facteur de Yule}} \underbrace{\delta t^{\delta-1}}_{\text{Facteur âge}} \underbrace{e^{Z^T \beta}}_{\text{Facteur de Cox}} dt$$

**Facteur  
de Yule**

**Facteur  
âge**

**Facteur  
de Cox**

$\alpha \rightarrow$  Effet des casses passées ( $\alpha = 0$  : NHPP)



## Fonction d'intensité du LEYP

$$E(dN(t) \mid N(t-) = j) = \underbrace{(1 + \alpha j)}_{\text{Facteur de Yule}} \underbrace{\delta t^{\delta-1}}_{\text{Facteur âge}} \underbrace{e^{Z^T \beta}}_{\text{Facteur de Cox}} dt$$

**Facteur  
de Yule**

**Facteur  
âge**

**Facteur  
de Cox**

$\alpha \rightarrow$  Effet des casses passées ( $\alpha = 0$  : NHPP)

$\delta \rightarrow$  Effet de l'âge ( $\delta = 1$  : pas de vieillissement)

## Fonction d'intensité du LEYP

$$E(dN(t) | N(t-) = j) = \underbrace{(1 + \alpha j)}_{\text{Facteur de Yule}} \underbrace{\delta t^{\delta-1}}_{\text{Facteur âge}} \underbrace{e^{Z^T \beta}}_{\text{Facteur de Cox}} dt$$

**Facteur  
de Yule**

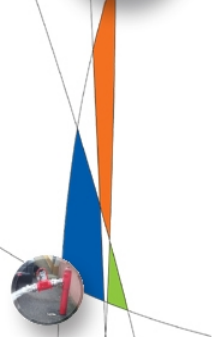
**Facteur  
âge**

**Facteur  
de Cox**

$\alpha \rightarrow$  Effet des casses passées ( $\alpha = 0$  : NHPP)

$\delta \rightarrow$  Effet de l'âge ( $\delta = 1$  : pas de vieillissement)

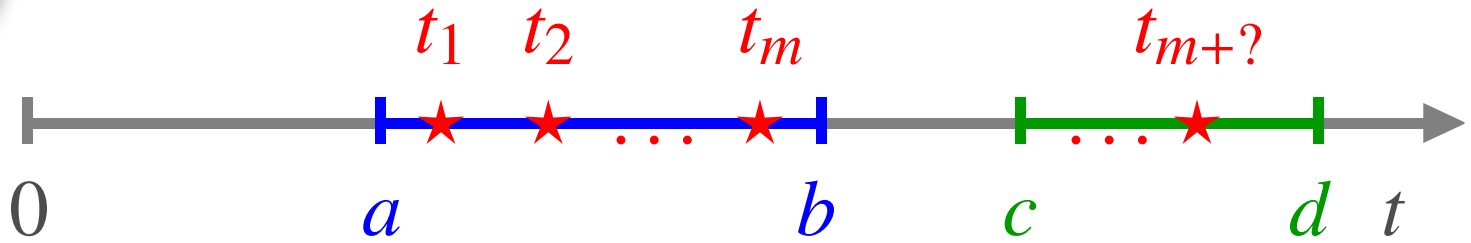
$\beta \rightarrow$  Coefficients de régression (PHM)

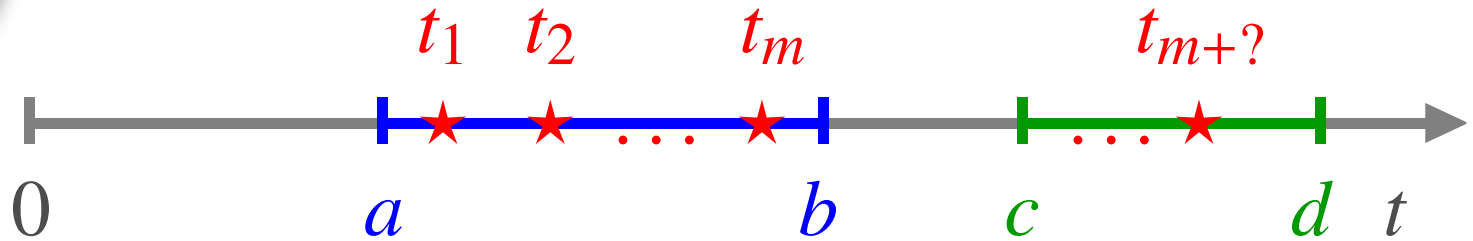


# La distribution du processus de comptage



# La distribution du processus de comptage





Distribution conditionnelle  
binomiale négative :

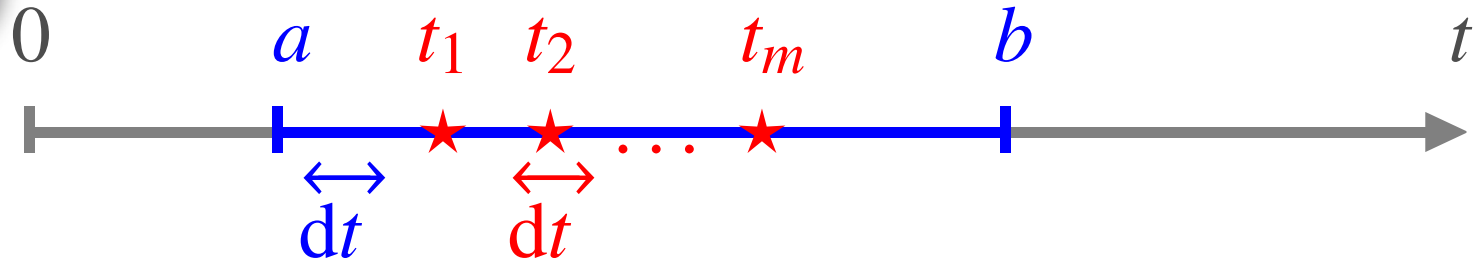
$$[N(d) - N(c) \mid N(b) - N(a) = m]$$

$$\sim \mathcal{NB} \left( \alpha^{-1} + m, \frac{\mu(b) - \mu(a) + 1}{\mu(d) - \mu(c) + \mu(b) - \mu(a) + 1} \right)$$

avec  $\mu(t) = e^{\alpha t^\delta} e^{\mathbf{z}^T \boldsymbol{\beta}}$

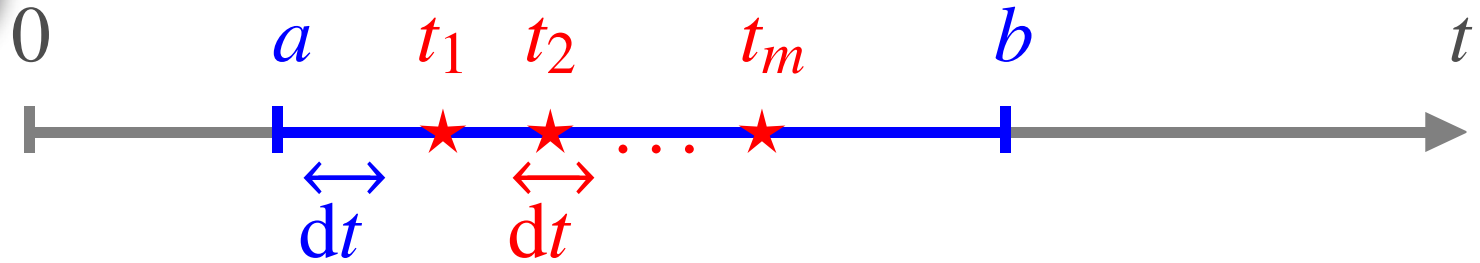


Estimation des paramètres  $\theta^T = (\alpha, \delta, \beta^T)$   
en maximisant  $L(\theta \mid \text{Observations})$



Estimation des paramètres  $\theta^T = (\alpha, \delta, \beta^T)$   
en maximisant  $L(\theta \mid \text{Observations})$

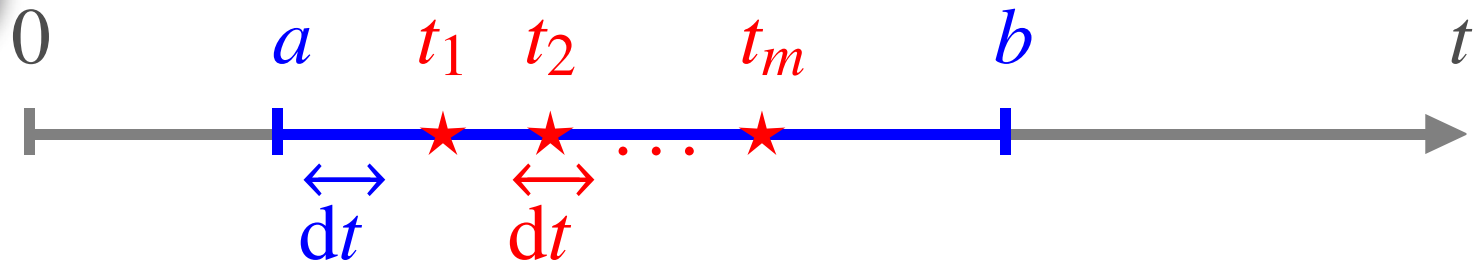




$$E(dN(t) \mid N(t-) - N(a))^{\Delta N(t)}$$

avec  $\Delta N(t) = N(t) - N(t-)$

Estimation des paramètres  $\theta^T = (\alpha, \delta, \beta^T)$   
 en maximisant  $L(\theta \mid \text{Observations})$

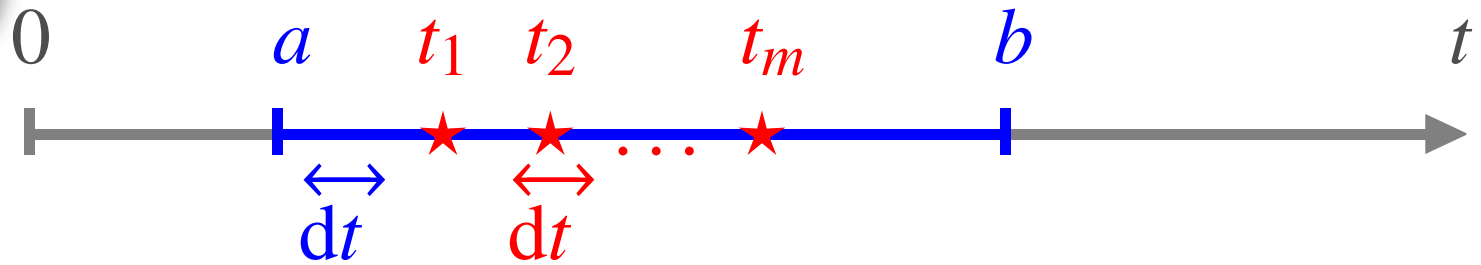


$$E(dN(t) \mid N(t-) - N(a))^{\Delta N(t)}$$

$$(1 - E(dN(t) \mid N(t-) - N(a)))^{1 - \Delta N(t)}$$

avec  $\Delta N(t) = N(t) - N(t-)$

Estimation des paramètres  $\theta^T = (\alpha, \delta, \beta^T)$   
 en maximisant  $L(\theta \mid \text{Observations})$



$$L(\theta | \text{Obs.}) = \prod_{t \in [a, b]} \text{E}(dN(t) | N(t-) - N(a))^{\Delta N(t)} \times (1 - \text{E}(dN(t) | N(t-) - N(a)))^{1 - \Delta N(t)}$$

avec  $\Delta N(t) = N(t) - N(t-)$

Estimation des paramètres  $\theta^T = (\alpha, \delta, \beta^T)$  en maximisant  $L(\theta | \text{Observations})$

$$L(\theta \mid \text{Obs.}) = \alpha^m \frac{\Gamma(\alpha^{-1} + m)}{\Gamma(\alpha^{-1})} \frac{\prod_{j=1}^m \mu(t_j) \lambda(t_j)}{(\mu(b) - \mu(a) + 1)^{\alpha^{-1} + m}}$$

avec  $\lambda(t) = \delta t^{\delta-1} e^{\mathbf{Z}^T \boldsymbol{\beta}}$

$$\mu(t) = e^{\alpha t^\delta} e^{\mathbf{Z}^T \boldsymbol{\beta}}$$

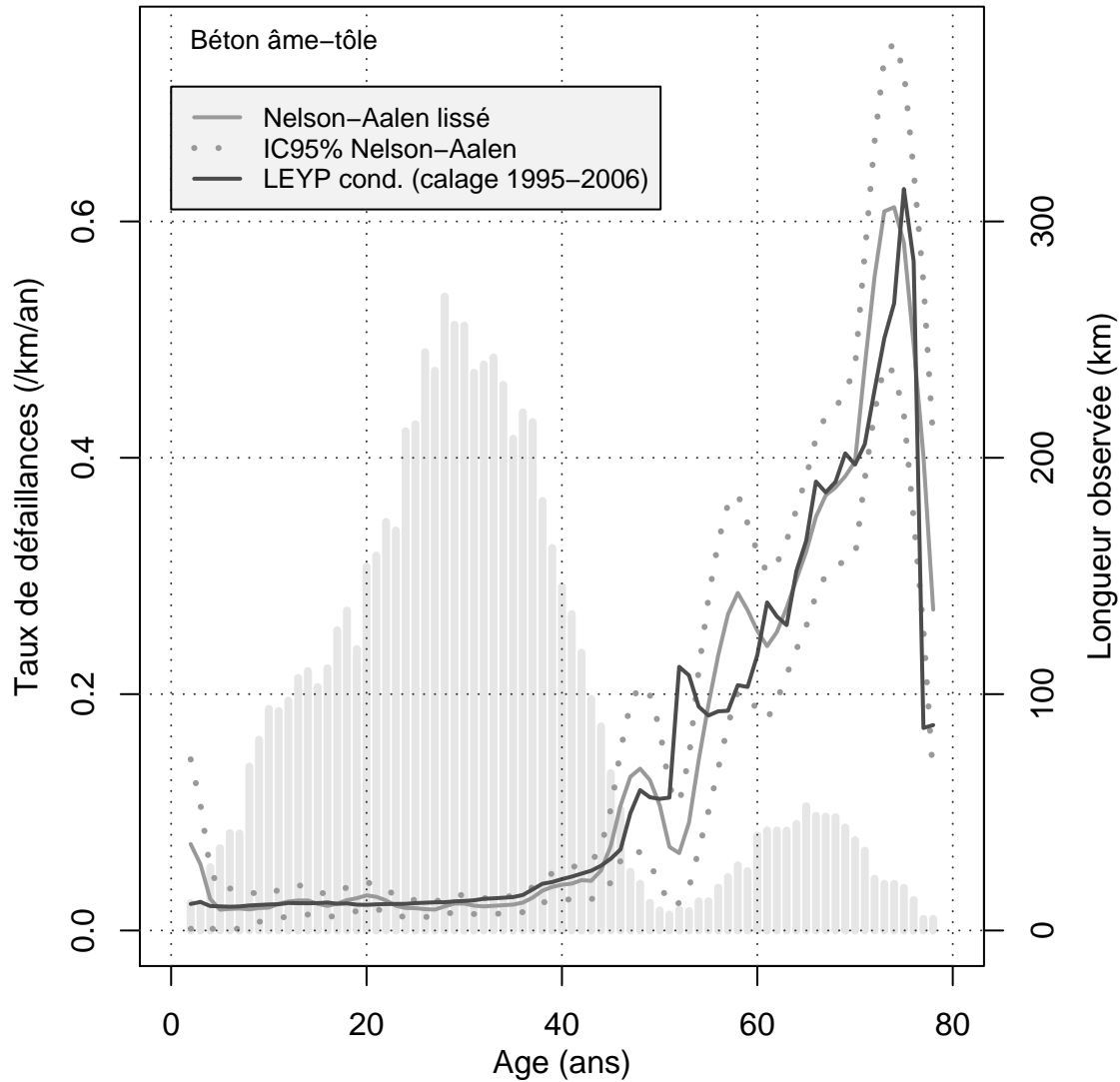
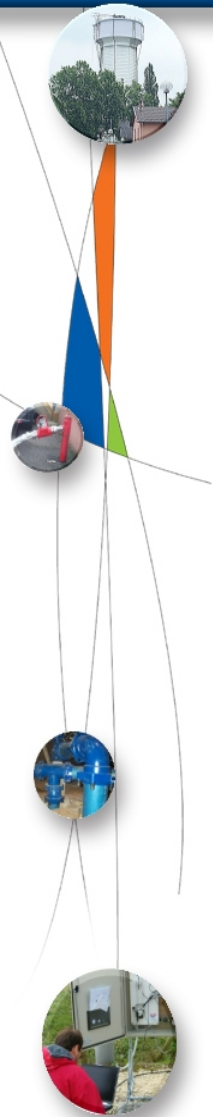
$$L(\theta \mid \text{Obs.}) = \alpha^m \frac{\Gamma(\alpha^{-1} + m)}{\Gamma(\alpha^{-1})} \frac{\prod_{j=1}^m \mu(t_j) \lambda(t_j)}{(\mu(b) - \mu(a) + 1)^{\alpha^{-1} + m}}$$

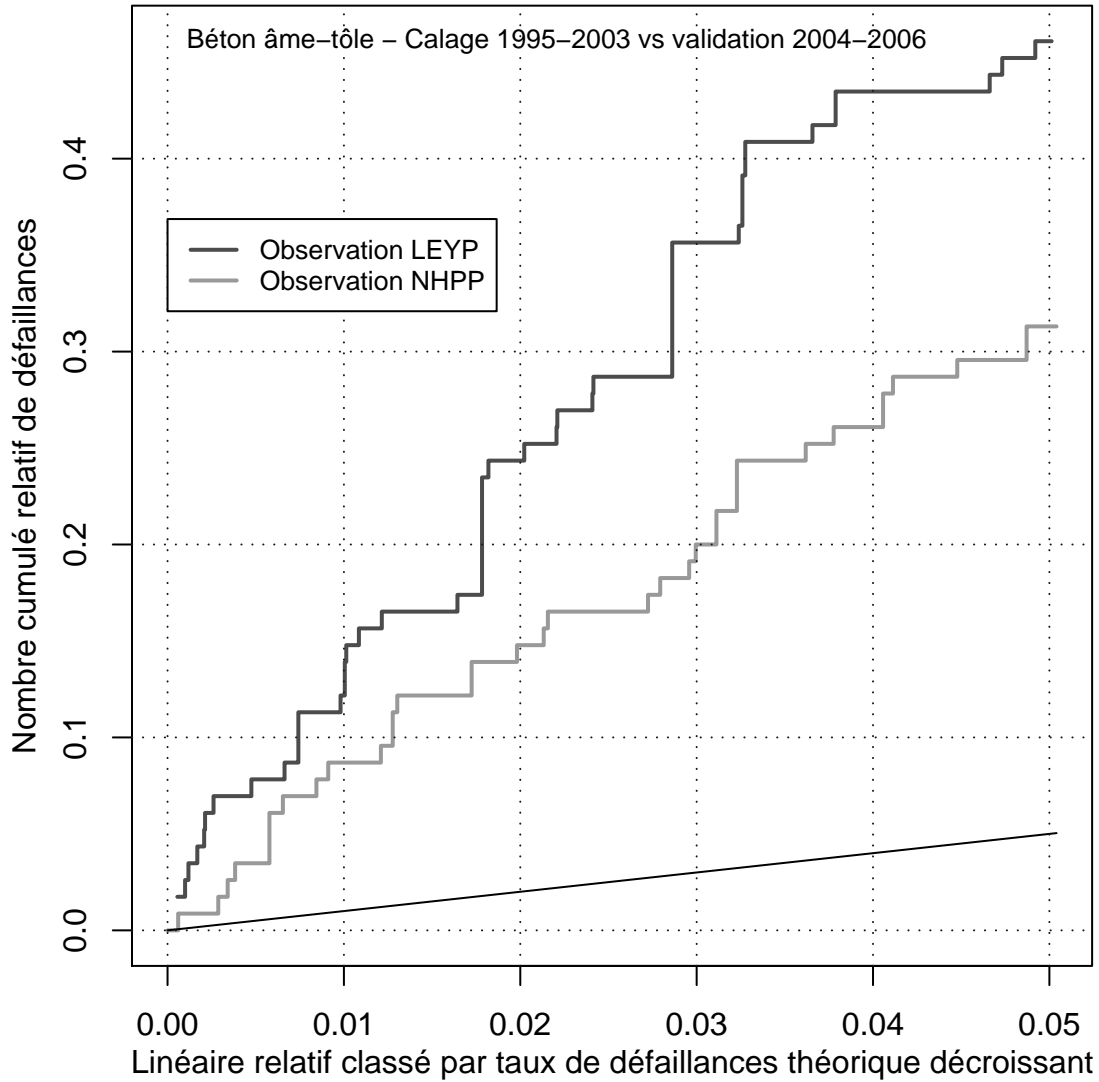
avec  $\lambda(t) = \delta t^{\delta-1} e^{\mathbf{Z}^T \boldsymbol{\beta}}$

$$\mu(t) = e^{\alpha t^\delta} e^{\mathbf{Z}^T \boldsymbol{\beta}}$$

► **Normalité asymptotique des estimations du maximum de vraisemblance**

⇒ **Test du  $\chi^2$  de Wald sur  $\boldsymbol{\beta}$**







- ▶ Chute constatée du taux de casse des canalisations les plus anciennes
- ▶ Sélection sur la robustesse
- ▶  $T$  durée aléatoire de maintien en service
- ▶  $\zeta(t)$  probabilité de maintien en service suite à une casse à l'âge  $t$





- ▶ Chute constatée du taux de casse des canalisations les plus anciennes
- ▶ Sélection sur la robustesse
- ▶  $T$  durée aléatoire de maintien en service
- ▶  $\zeta(t)$  probabilité de maintien en service suite à une casse à l'âge  $t$

Distribution conditionnelle binomiale négative :

$$[N(d) - N(c) \mid N(b) - N(a) = m, T > a]$$
$$\sim \mathcal{NB} \left( \alpha^{-1} + m, \frac{\mu(b) - \int_0^a \zeta(u) d\mu(u)}{\mu(d) - \mu(c) + \mu(b) - \int_0^a \zeta(u) d\mu(u)} \right)$$

en supposant  $\zeta(t) = 1$  pour  $t \geq b$